

## بررسی تنوع ژنتیکی جدایه های *Sclerotinia sclerotiorum* با استفاده

\* rep-PCR از نشانگر

### GENETIC DIVERSITY OF *Sclerotinia sclerotiorum* ISOLATES USING REP-PCR MARKER

الهام کریمی، ناصر صفائی\*\* و مسعود شمس بخش<sup>۱</sup>

(تاریخ دریافت: ۸۸/۷/۲۱؛ تاریخ پذیرش: ۸۸/۱۲/۵)

#### چکیده

بیماری پوسیدگی اسکلروتینیایی ساقه کلزا ناشی از *Sclerotinia sclerotiorum* یکی از مهم‌ترین بیماری‌های قارچی کلزا در ایران می‌باشد. با توجه به اهمیت این بیماری و عدم وجود اطلاعات کامل از ساختار ژنتیکی جمعیت‌های این قارچ گروه‌های سازگاری میسلیومی و تنوع ژنتیکی بین و درون گروه‌های سازگاری میسلیومی (mycelial compatibility grouping, MCG) شناسایی شده از سه استان گلستان، مازندران و آذربایجان غربی بررسی شد. تعداد ۶۴ جدایه با توجه به پراکنش جغرافیایی انتخاب و MCG آنها تعیین گردید. در بین این تعداد جدایه ۴۲ گروه سازگاری میسلیومی شناسایی شد. آزمون‌های بررسی قدرت بیماری‌زایی (ویرولانس) جدایه‌ها در گلخانه انجام گرفت. تجزیه و تحلیل داده‌های حاصل از ترکیب سه شاخص یادداشت برداری فتوتیپ زخم، طول زخم و درصد توسعه زخم دور ساقه جدایه‌ها را به سه گروه با قدرت بیماری‌زایی مختلف تقسیم نمود. نتایج این مطالعات نشان داد که قدرت بیماری‌زایی جدایه‌های درون یک MCG و نیز بین MCG ها متفاوت بود. در بررسی تنوع ژنتیکی بین MCG ها (۳۸ جدایه نماینده سی و هشت MCG)، بر اساس تجزیه و تحلیل الگوهای باندی حاصل از مجموع چهار آغازگر rep-PCR در سطح تشابه ۶۴ درصد جدایه‌ها در هفت گروه قرار گرفتند. بر این مبنای، بیشتر جدایه‌ها از لحاظ منشا جغرافیایی از یکدیگر تفکیک شدند. قدرت تمایز بالای این نشانگر ( $D = 0/993$ ) در تمایز ۳۸ جدایه به ۳۷ ژنوتیپ نشان داد که می‌توان از rep-PCR به عنوان یک روش مفید و سریع برای بررسی تنوع ژنتیکی جدایه‌های *S. sclerotiorum* استفاده کرد.

واژه‌های کلیدی: کلزا، *Sclerotinia sclerotiorum*، گروه‌های سازگاری میسلیومی، تنوع ژنتیکی

\*: بخشی از پایان‌نامه کارشناسی ارشد نگارنده اول ارائه شده به دانشکده کشاورزی، دانشگاه تربیت مدرس، تهران

\*\*: مسئول مکاتبات، پست الکترونیکی: nsafaie@modares.ac.ir

۱. به ترتیب دانشجوی سابق کارشناسی ارشد و دانشیاران بیماری‌شناسی گیاهی، دانشکده کشاورزی، دانشگاه تربیت مدرس، تهران

## مقدمه

میسلیومی توانایی دو جدایه برای هم‌جوشی و تشکیل یک کلونی یکدست (Kohn *et al.* 1990) و نشان دهنده وجود هتروژنی درون گونه‌ای می‌باشد. MCG‌ها نماینده افرادی هستند که از نظر ژنتیکی متفاوت اند و هر MCG به لحاظ ژنتیکی با بقیه MCG‌های تعیین شده تفاوت دارد. به طوری که از MCG‌ها به عنوان یک نشانگر مرفلوژیکی سریع و مؤثر برای شناسایی تنوع درون گونه‌ای بین جمعیت‌های *S. sclerotiorum* استفاده شده‌اند (Kohn *et al.* 1991). در مطالعات زیادی نشانگرهای Atallah *et al.* 2004., Mert- Türk *et al.* 2007., Sexton & Howlett 2004., Carpenter *et al.* 1999., RFLP (Sexton *et al.* 2006 Cubeta *et al.* 1997., Ekins *et al.* 2005., Hambleton *et al.* 2002., Kohn *et al.* 1991., Kohn *et al.* 1988., Kohli *et al.* 1992 ساختار ژنتیکی جمعیت‌های *S. sclerotiorum* استفاده شده‌اند.

نشانگر مولکولی rep-PCR به عنوان یک نشانگر مؤثر برای شناسایی گونه‌های باکتریایی و بررسی تنوع ژنتیکی آنها استفاده شده است (Versalovic *et al.* 1994). اگر چه آغازگرهای rep-PCR برای عناصر تکراری در ژنوم‌های پروکاریوت‌ها طراحی شده‌اند ولی این آغازگرهای برای تکثیر نواحی بین توالی‌های تکراری در ژنوم یوکاریوت‌ها (Kaur *et al.* 2005) و نیز برای بررسی تنوع ژنتیکی در سطوح بین یا درون گونه‌ای چندین جنس قارچ استفاده شده است (McDonald *et al.* 2000; Arruda *et al.* 2003).

از آن جایی که *S. sclerotiorum* یک قارچ همه جازی بوده و اسکلروت‌های مقاوم آن قادرند در خاک به مدت چند سال زنده بمانند، با در دست داشتن اطلاعات صحیح از ساختار ژنتیکی جمعیت‌های *S. sclerotiorum* می‌توان ارقام مناسبی برای مناطق جغرافیایی مختلف یا

بیماری پوسیدگی اسکلروتینیایی ساقه کلزا (Sclerotinia Stem Rot, SSR) مهم‌ترین بیماری این محصول در ایران می‌باشد که از استان‌های گلستان، مازندران، گیلان و اردبیل گزارش شده است (Afshari Azad & Chegini 2005; Bary 1994). عامل این بیماری *Sclerotinia sclerotiorum* (Lib.) de باری طیف میزانی گستردگی است، به طوری که می‌تواند بیش از ۴۰۸ گونه گیاهی متعلق به ۷۵ جنس از خانواده را مورد حمله قرار دهد (Boland & Hall 1994). زمستان گذرانی عامل بیماری در مناطق معتدل به صورت تشکیل اسکلروت در بافت‌های آلوود می‌باشد. اسکلروت‌ها پس از جوانهزنی آپوتسیوم و آسکوسبور تولید می‌کنند. آسکوسبورها به وسیله باد در هوا منتشر شده، گل‌برگ‌های کلزا را آلوود می‌کنند و گل‌برگ‌های پوسیده پس از ریزش، روی ساقه‌های کلزا قرار گرفته، پوسیدگی ساقه را ایجاد می‌کنند (Kohli *et al.* 1992).

تنوع درون گونه‌ای در بیماری زایی (Marciano *et al.* 1982, 1983; Purdy 1979; Morrall *et al.* 1972) و در ویژگی‌های مرفلوژیکی مانند رنگ میسلیوم، آسک و آسکوسبور، اندازه اسکلروت و تولید آن (Purdy 1955, 1979; LeTourneau 1979; Boland & Smith 1991) در *S. sclerotiorum* گزارش شده است. با این وجود، گروه‌بندی‌های درون گونه‌ای بر مبنای این ویژگی‌ها امکان پذیر نیست زیرا اساس ژنتیکی این ویژگی‌ها هنوز به خوبی شناسایی نشده و احتمالاً بسیار پیچیده است (Lumsden 1979). به منظور بررسی تنوع ژنتیکی در جمعیت‌های این قارچ از روش‌های انگشت نگاری دی.ان.ا. و گروه‌بندی افراد بر اساس سازگاری میسلیومی استفاده شده است (Kohn *et al.* 1988, 1990, 1991, 1992).

آگار انجام گرفت.

### بررسی قدرت بیماری‌زایی جدایه‌ها

بذرهای کلزا رقم اکاپی (Okapi) در گلدان‌های (به قطر ۱۴ سانتی‌متر) حاوی خاک سترون، پیت و پرلیت به نسبت مساوی کشت گردید و در دمای  $21\pm 2$  درجه سلسیوس قرار گرفتند. پس از سبز شدن در هر گلدان چهار گیاه‌چه نگهداری شد. گیاهان در مرحله شش برگی مطابق روش ژاو و همکاران (Zhao et al. 2004) مایه‌زنی شدند و گلدان‌ها را زیر اطاک‌های نایلونی قرار داده و با اسپری آب زیر نایلون‌ها به مدت سه روز رطوبت مورد نیاز تأمین شد. آزمایش در قالب طرح بلوك کامل تصادفی و با دو بار تکرار انجام شد. آزمایش در قالب طرح بلوك کامل تصادفی با سه بار تکرار به اجرا درآمد و این آزمون دو بار تکرار گردید. به منظور ارزیابی قدرت بیماری‌زایی جدایه‌ها چهار نوع یادداشت برداری شامل اندازه‌گیری طول زخم، فتوتیپ زخم، درصد توسعه زخم دور ساقه و سطح زیر منحنی پیشرفت بیماری صورت گرفت. پنج نوع فتوتیپ زخم چهارده روز پس از مایه‌زنی ثبت گردید (Zhao et al. 2004) که عبارت بودند از:

= بدون علایم

= وجود زخم آب سوخته روی دمبرگ

= وجود زخم کوچک در محل اتصال دمبرگ به ساقه

= وجود زخم آب سوخته کوچک روی ساقه، بدون ایجاد پژمردگی

= وجود زخم آب سوخته گسترده روی ساقه، بدون ایجاد پژمردگی

= وجود زخم آب سوخته فرو رفته روی ساقه، ایجاد پژمردگی غیر قابل برگشت اندام‌های هوایی

جمعیت‌های متنوع این قارچ ایجاد نمود که این خود منجر به پایداری مقاومت در آن مناطق خواهد شد (McDonald 1997). علی‌رغم اهمیتی که بیماری پوسیدگی سفید ساقه کلزا دارد تاکنون در ایران پژوهش منسجمی در جهت بررسی تنوع ژنتیکی این قارچ صورت نگرفته است. در این پژوهش MCG جدایه‌های *S. sclerotiorum* آنها و هم‌چنین تنوع ژنتیکی این بیمارگر با استفاده از نشانگر مولکولی rep-PCR تعیین می‌شود.

### روش بررسی جداسازی بیمارگر

در طی فصول زراعی سال‌های ۱۳۸۴-۸۵ و ۱۳۸۵-۸۶ ضمن بازدید از مزارع کلزای استان‌های گلستان، مازندران و آذربایجان غربی نمونه‌های گیاهی (ساقه) مشکوک به بیماری اسکلروتینیایی ساقه که دارای آثاری از قارچ شامل میسلیوم سفید رنگ روی ساقه‌های آلوده و اسکلروت داخل ساقه‌های ترک خورده، و یا علایمی از بیماری بودند جمع‌آوری و پس از ثبت مزرعه، منطقه و تاریخ نمونه برداری هر یک از نمونه‌ها، به‌طور جداگانه داخل پاکت‌های کاغذی قرار داده شدند.

به منظور جداسازی قارچ عامل بیماری، اسکلروت‌های موجود در ساقه‌های آلوده کلزا جدا و به مدت سه دقیقه در اتانول ۷۰ درصد ضد عفونی سطحی شده و پس از خشک کردن با کاغذ صافی سترون، اسکلروت روی محیط عصاره سیب زمینی-دکستروز-آگار (PDA) گذاشته شد. تشک‌های پتری کشت شده به مدت پنج روز در دمای ۲۵ درجه سلسیوس در انکوباتور نگهداری شدند. خالص سازی جدایه‌ها به روش نوک هیف روی محیط کشت آب

MCG تعيين

کیفیت DNA استحصالی به وسیله الکتروفورز و غلظت آن با استفاده از اسیکلو فوتومتر سنجش شد.

تعیین نوع ژنتیکی جدایه‌های *S. sclerotiorum* با استفاده از نشانگر rep-PCR

به منظور بررسی تنوع ژنتیکی جمعیت‌های این بیمارگر تعداد ۳۸ جدایه (به عنوان نماینده هر MCG) انتخاب گردید که مشخصات آنها در جدول ۱ آورده شده است. برای انجام واکنش زنجیره‌ای پلیمراز (PCR) چهار آغازگر BOX A1R، ERIC2، ERIC1R و REP2-I مورد استفاده قرار گرفتند (جدول ۲). تکثیر قطعات دی.ان.ا. در ترموسایکلر اپن دورف گرادیان در (Ependorfe gradiant, Germany) در حجم نهایی ۲۵ میکرولیتر از مخلوط واکنش PCR شامل بافر PCR (1X)، ۰/۲ میلی‌مولار از هر یک از دزوکسی نوکلئوتیدها، ۲ میلی‌مولار از کلرید منیزیم، ۱ میکرومولار از آغازگر و ۱/۵ واحد از آنزیم Taq پلیمراز (CinaGen, Tehran) انجام گرفت. چرخه دمایی برای واکنش پنج سی.آر به صورت واسرتسته سازی اولیه در دمای ۹۵ به مدت دو دقیقه و تکرار ۳۵ چرخه شامل یک دقیقه واسرتسته سازی در دمای ۹۴°C، ۱:۳۰ دقیقه در دمای اتصال مناسب هر آغازگر و دو دقیقه برای گسترش در دمای ۷۲°C و گسترش نهایی به مدت هشت دقیقه در ۷۰°C بود. (McDonald *et al.* 2000). برای مشاهده مخصوص PCR (۱۰ میکرولیتر) الکتروفورز روی ژل آگاراز ۱/۵ درصد در بافر ۱X TBE (۸۹ میلی‌مولار تریس، ۸۹ میلی‌مولار بوریک اسید، ۲ میلی‌مولار EDTA) با ولتاژ ثابت ۸۵ ولت به مدت سه ساعت انجام گرفت. با استفاده از دستگاه فتوگرافی ساخت شرکت Vilbert Lourmat در فرانسه مدل ۵×20-2A T-Ø محل قطعات

استخراج DNA

به منظور استخراج DNA از محلول نمکی استفاده شد (Safaie *et al.* 2005). پس از انجام عملیات استخراج،

بهمنظور تعیین MCG تعداد ۶۴ جدایه بر اساس پراکنش جغرافیایی از شش منطقه انتخاب شدند. آزمون‌های بررسی سازگاری میسیلیومی بهروش اسکافر و کوهن (Schafer and Kohn, 2006) انجام شدند. جدایه‌ها روى محیط سیب‌زمینی-دکستروز-آگار کشت داده شده و به مدت سه تا چهار روز در دمای ۲۰ تا ۲۲ درجه سلسیوس و تاریکی نگهداری شدند. برای بررسی سازگاری میسیلیومی، دو دیسک به قطر دو میلی‌متر از حاشیه فعال پرگنه دو جدایه برداشته و به فاصله ۳/۵ سانتی‌متر از یکدیگر روی محیط کشت سیب‌زمینی-دکستروز-آگار که به آن ۱۷۵ میکرولیتر در لیتر رنگ قرمز ساخت شرکت McCormick اضافه شده قرار داده شدند، یک جفت در هر تشتک پتری، و در دمای ۲۲ درجه سلسیوس و تاریکی نگهداری شدند. نمونه‌ها ۱۱، ۷، ۴ و ۱ روز بعد از مقابل هم قرار دادن مورد بررسی قرار گرفتند. در بررسی جفت‌ها، هنگامی که یک خط قرمز در حد فاصل دو جدایه تشکیل شد یا یک نوار نازک یا ضخیم از میسیلیوم‌های هوایی در این ناحیه مشاهده گردید، واکنش به عنوان یک واکنش ناسازگار ثبت شد. در مقابل، هنگامی که پرگنه در حال رشد دو جدایه جفت شده روی محیط کشت در هم ادغام شده و تشکیل یک کلونی یکدست دادند به عنوان واکنش سازگار در نظر گرفته شد. چون چنین جفت‌هایی کاملاً سازگار هستند، به عنوان شاهد برای بررسی جفت‌هایی که دو جدایه متفاوت در مقابل هم قرار داده شده بودند، در نظر گرفته شدند.

Archive of SID

Archive of SID

Archive of SID

Archive of SID

سازی گردید. از این تعداد جدایه، ۶۴ جدایه بر اساس پراکنش جغرافیایی انتخاب و قدرت بیماری زایی آنها در گلخانه مورد آزمون قرار گرفت. طول زخم ایجاد شده روی ساقه (شکل ۱) و سطح زیر منحنی پیشرفت بیماری هفت، ده و چهارده روز پس از مایهزنی اندازه‌گیری شد. هم‌چنین، فنوتیپ زخمهای دور ساقه توسعه زخم در روز آخر یادداشت برداری ثبت شدند.

نتایج حاصل از تجزیه و تحلیل داده‌ها نشان داد که جدایه‌ها از نظر قدرت بیماری زایی با یکدیگر تفاوت دارند. در این مطالعه داده‌های حاصل از چهار شاخص یادداشت برداری به صورت ترکیبی نیز آنالیز شدند که ترکیب داده‌های حاصل از شاخص درصد آلودگی زخم دور ساقه، فنوتیپ زخم و طول زخم ایجاد شده روی ساقه ترکیب مناسبی تشخیص داده شدند. مقایسه میانگین داده‌های حاصل از این ترکیب با استفاده از آزمون چند دامنه‌ای دانکن جدایه‌ها را به ۱۱ گروه تقسیم کرد (جدول ۱). بر این اساس، جدایه Q1 (از ارومیه) بیشترین و جدایه H9.4 (از هاشم آباد) کمترین قدرت بیماری زایی را دارا بودند. فنوتیپ زخم دور ساقه، فنوتیپ زخم و طول زخم ایجاد شده روی ساقه ترسیم شده به روش Ward (1963) و ضریب اقلیدوسی جدایه‌ها را به سه گروه تقسیم کرد که گروه اول شامل جدایه‌های با قدرت بیماری زایی بالا، گروه دوم شامل جدایه‌هایی با قدرت بیماری زایی متوسط و گروه سوم در برگیرنده جدایه‌هایی با کمترین قدرت بیماری زایی بود (دندروگرام نشان داده نشده است). در هیچ کدام از موارد ارتباط معنی‌داری بین قدرت بیماری زایی جدایه‌ها، نواحی جغرافیایی آنها و MCG‌های تعیین شده مشاهده نشد.

DNA تفکیک شده روی ژل زیر نور UV عکس‌برداری شد.

### آنالیز داده‌ها

برای امتیازدهی باندها و تعیین ارتباط ژنتیکی بین جدایه‌ها، نخست اندازه هر یک از باندهای دی.ان.ا. که به خوبی روی ژل قابل رؤیت بودند برای تمام جدایه‌ها مشخص گشت. اندازه باندها با استفاده از نرم افزار Photo-capt ساخت شرکت Vilber Lourmat در فرانسه و بر اساس اندازه باندهای نرdban ژنومی یک کیلو بازی تعیین شد. ژل بر اساس حضور (۱) یا عدم حضور باند (۰) امتیازدهی شد و سپس بر اساس باندهای مشترک روی ژل ماتریس داده‌ها تشکیل شد. بر اساس نتیجه ماتریس شباهت که با استفاده از ضریب تشابه جاکارد بدست آمده بود، تجزیه و تحلیل خوش‌های به کمک روش UPGMA در نرم افزار NTSYS- pc (Rohlf 2000) انجام و دندروگرام مربوطه ترسیم شد. تجزیه به مؤلفه‌های اصلی برای بررسی ارتباط بین جدایه‌ها نیز صورت گرفت.

به‌منظور ارزیابی توانایی نشانگر مولکولی استفاده شده در تمایز بین جدایه‌ها شاخص تنوع سیمپسون از رابطه زیر محاسبه گردید:

$$D = 1 - \frac{1}{\sum_{j=1}^n x_j(x_j - 1)}$$

در این رابطه  $N$  تعداد کل جدایه‌ها در جمعیت و  $x_j$  تعداد جدایه‌های قرار گرفته در گروه  $j$  می‌باشد (Simpson 1949).

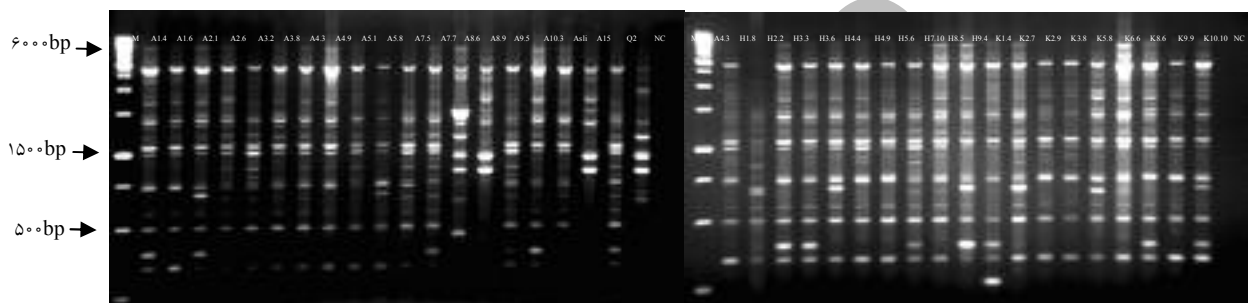
### نتیجه

جذاسازی و بررسی قدرت بیماری زایی جدایه‌ها از مجموع ۳۵۰ ساقه کلزای دارای علایم بیماری پوسیدگی اسکلروتینیایی تعداد ۲۰۵ جدایه *S. sclerotiorum* خالص



شکل ۱. علایم بیماری پوسیدگی اسکلروتینیایی ساقه کلزا هفت روز پس از مایه زنی

Fig. 1. Symptoms of *Sclerotinia* stem rot of canola 7 days after inoculation



شکل ۲. الگوی دی.ان.ا. تکثیر شده در ۳۸ جدایه منتخب *Sclerotinia sclerotiorum* با استفاده از آغازگر ERIC IR. M: DNA ladder 1kb (Fermentase), NC: کنترل منفی نرdban ژنومی یک کیلو بازی، NC: کنترل منفی

Fig. 2. DNA fingerprinting of 38 selected isolates of *Sclerotinia sclerotiorum* using ERIC IR primer. M: DNA ladder 1kb (Fermentase), NC: Negative Control

از ۲۷۰ الی ۴۸۰ جفت باز متغیر بود. آغازگر BOX A1R تعداد سه تا دوازده باند تولید کرد که از ۳۰۰ تا ۴۸۰۰ جفت باز متغیر بود. این آغازگر بیشترین قدرت تماییز دهنده کارایی بهتر این آغازگر در قدرت تفکیک جدایه‌ها از یکدیگر است. آغازگر REP2-I تعداد نه تا چهارده باند تکثیر کرد که اندازه قطعات به دست آمده از این آغازگر از ۲۶۰ الی ۶۰۰۰ جفت باز متغیر بود (شکل ۲). آغازگر BOX 1AR و ERIC1R بیشترین تعداد لوکوس و آغازگر REP2-I کمترین تعداد لوکوس را تکثیر نمودند. بر اساس تجزیه و تحلیل خوش‌های نتایج حاصل از هر آغازگر مشخص گردید که هیچ تفاوتی در گروه‌بندی اصلی جدایه‌ها توسط چهار آغازگر وجود ندارد.

#### تعیین MCG

تعداد ۶۴ جدایه از شش منطقه جغرافیایی جهت بررسی سازگاری میسلیومی انتخاب شدند. در بین این تعداد سی و هشت MCG شناسایی شد (داده‌های منتشر نشده).

#### تنوع ژنتیکی بین جدایه‌های *S. sclerotiorum*

هر چهار آغازگر REP2-I, ERIC2I, ERIC1R و BOX 1AR واجد تکرارپذیری و چند شکلی بودند، بهترین دمای اتصال به دست آمده برای آغازگرهای استفاده شده در جدول ۲ آورده شده است. آغازگر ERIC 1R تعداد دوازده تا ۲۷ باند تولید کرد که اندازه قطعات به دست آمده از ۳۰۰ الی ۴۳۰۰ جفت باز متغیر بود. آغازگر 2I تعداد شش تا هفده باند تولید کرد که اندازه قطعات به دست آمده

جدول ۲. توالی، دمای اتصال، تعداد لوکوس تکثیر شده، درصد لوکوس های چند شکل، تعداد کل زیر گروه‌ها، تعداد زیر گروه‌های متشکل از یک جدایه و قدرت تمایز آغازگرهای استفاده شده برای ۳۸ جدایه *Sclerotinia sclerotiorum* مورد مطالعه

Table 2. Sequence, annealing temperature, number of amplified loci, polymorphic loci percent, number of types, number of types represented by a single isolate and discriminatory power of the primers used for the 38 *Sclerotinia sclerotiorum* isolates tested

آغازگر Primer	توالی Sequence	دمای اتصال (°) Annealing temperature	تعداد لوکوس‌های تکثیر شده No. amplified loci	درصد لوکوس‌های چند شکل Polymorphic loci percent	N	n	D
ERIC1 R	5'- ATGTAAGC TCCTGGGG ATTCAC-3'	45	34	100	36	34	0.997
ERIC2I	5'- ATGTAAGT GACTGGGG TGAGCG-3'	51	31	100	32	27	0.990
REP2-I	5'- ICGITTATCI GGCCTAC-3'	41	22	90.91	30	24	0.986
BOX 1AR	5'- CTACGGCA AGGCGACG CTGACG-3'	66	34	100	37	36	0.998
Mean	-	-	30	97.73	-	--	0.993

N: تعداد کل زیر گروه‌ها؛ D: قدرت تمایز زیر گروه‌های متشکل از یک جدایه؛ n: تعداد زیر گروه‌های متشکل از یک جدایه؛

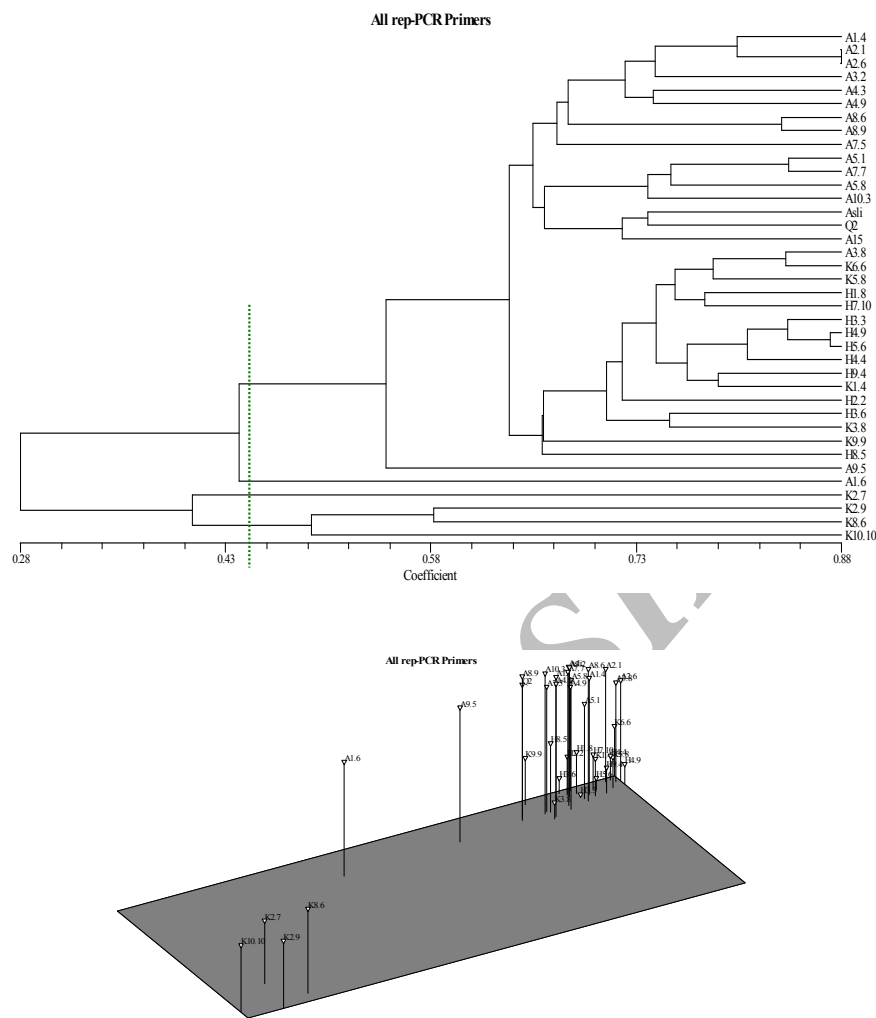
N: number of types; n: number of types represented by a single isolate;

D: discriminatory power

آباد به همراه ۵۵/۵۶ درصد جدایه‌های متعلق به کلاله در گروه دوم جای گرفتند.

تجزیه به مختصات اصلی بر اساس ماتریس تشابه به دست آمده از ضریب تشابه جاکارد و با استفاده از نرم افزار NTSYS (Ver. 2.02) انجام گرفت. همان‌طور که انتظار می‌رفت مؤلفه اول بیشترین تغییرات را (در حدود ۶۰/۹۲ درصد) نسبت به سایر مؤلفه‌ها توجیه می‌کند و مؤلفه دوم حدود پنج درصد تغییرات را توجیه می‌کند. با ادامه این روال مؤلفه دوازدهم تنها یک درصد و مؤلفه‌های بعد از آن کمتر از یک درصد تغییرات را توجیه می‌کنند (اطلاعات نشان داده نشده است). بنابراین، دوازده مؤلفه

نتایج حاصل از تجزیه و تحلیل الگوهای باندی حاصل از مجموع چهار آغازگر rep-PCR در سطح تشابه ۴۴ درصد جدایه‌ها را به چهار گروه تقسیم نمود، پلات حاصل از تجزیه به مختصات اصلی نیز تایید کننده این مطلب می‌باشد (شکل ۳). ۷/۹ و ۸۶/۸۵ درصد جدایه‌ها به ترتیب به گروه اول و چهارم تعلق داشتند و گروه دوم و سوم هر کدام دارای یک جدایه بودند. نتایج حاصل از تلفیق داده‌های rep-PCR توانست اکثر جدایه‌ها را در سطح تشابه ۶۴ درصد از لحاظ منشا جغرافیایی تفکیک کند. در این سطح تشابه ۸۱/۲۵ درصد جدایه‌های منطقه علی آباد در یک گروه قرار گرفتند و همه جدایه‌های منطقه هاشم



شکل ۳. دندروگرام مربوط به تنوع ژنتیکی ۳۸ جدایه منتخب *Sclerotinia sclerotiorum* حاصل از تلفیق الگوهای باندی چهار آغازگر rep-PCR بر اساس روش UPGMA و ضریب جاکارد و پلات سه بعدی حاصل از آن

**Fig. 3. Dendrogram depicting genetic diversity of 38 selected isolates of *Sclerotinia sclerotiorum* resulting from combination of banding pattern of four rep-PCR primers, using UPGMA method and Jaccard's coefficient and three-dimensional plot**

ژنتیکی جدایه‌های *S. sclerotiorum* *S. sclerotiorum* جدا شده از کلزا با استفاده از نشانگر rep-PCR بررسی شد. نتایج حاصل از بررسی گروه‌های سازگاری مسلیومی نشان داد که جدایه‌های *S. sclerotiorum* هر مزرعه کلزا از یک یا دو MCG تشکیل شده است. در یک جمعیت مزرعه‌ای *S. sclerotiorum* تنوع گروه‌های سازگاری می‌سلیومی می‌تواند توسط فاکتورهایی چون انتخاب گذرا و انتخاب

اول ۸۵ درصد تغییرات را توجیه می‌کند. این در حالی است که در بیشتر موارد در مورد صفات کمی به خصوص هنگامی که صفات همبستگی زیادی داشته باشند دو تا سه مؤلفه اول بیش از ۹۰ درصد تغییرات را توجیه می‌کند.

### بحث

در این مطالعه برای اولین بار در ایران MCG و تنوع

صورت نگرفته است و از این رو برای شناسایی MCG‌های مشترک لازم است که جدایه‌های بیشتری از این مناطق جمع‌آوری شود.

نتایج مطالعه حاضر نشان داد که جدایه‌های متعلق به MCG‌های مختلف و در بیشتر موارد جدایه‌های متعلق به یک MCG در سطح یک درصد از نظر بیماری‌زاوی تفاوت معنی داری با یکدیگر دارند. این تنوع در بیماری‌زاوی جدایه‌ها و MCG‌ها به نظر نمی‌رسد که با منشا جغرافیایی آنها ارتباطی داشته باشد. تفاوت در بیماری‌زاوی MCG‌های متعلق به یک مزرعه نشان دهنده این است که گروه‌های سازگاری میسلیومی احتمالاً فنوتیپ‌های مناسب را حفظ می‌کنند. نتایج مطالعات مورال و همکاران (Morrall *et al.* 1972) نشان داد که حتی جدایه‌هایی از S. *sclerotiorum* که از کشت‌های تک آسکوسپورهای متعلق به یک اسکلروت به دست آمده‌اند کاملاً از نظر ویژگی‌هایی چون مورفولوژیکی، فیزیولوژیکی و بیماری‌زاوی با یکدیگر متفاوت هستند. این نتایج نشان می‌دهد که نوترکیبی میوزی در آنها رخ داده است. هم‌چنین، جدایه‌های S. *sclerotiorum* به دست آمده از پروتوبلاست نیز از لحاظ مورفولوژیکی و بیماری‌زاوی با یکدیگر تفاوت دارند (Boland & Smith 1991).

نشانگر مولکولی rep-PCR که در این مطالعه مورد استفاده قرار گرفت توانست ۳۸ جدایه S. *sclerotiorum* که هر کدام نماینده یک MCG بودند را به ۳۷ ژنوتیپ تفکیک کند و لذا نتایج مطالعات کوهن (Kohn 1991) را تایید کرد و نشان داد که گروه‌های سازگاری میسلیومی نماینده افرادی هستند که از نظر ژنتیکی متفاوت‌اند و هر MCG به لحاظ ژنتیکی با بقیه MCG‌های تعیین شده تفاوت دارد. از نشانگر rep-PCR برای تکثیر نواحی بین توالی‌های تکراری در ژنوم یوکاریوت‌ها (Kaur *et al.*

تنوع‌گرا به همراه مکانیسم‌هایی مانند مهاجرت، دگرگشتنی و جهش حفظ شود. وجود پدیده انتخاب تنوع گرا در جمیعت‌ها باعث انتخاب ژنوتیپ‌های مختلف در شرایط محیطی متفاوت می‌شود. در جمیعت‌هایی که در معرض شرایط محیطی متغیر هستند، وجود هم‌زمان چندین MCG نسبت به یک جمیعت کلونال یا همگون مطلوب تر است. جمیعت‌های S. *sclerotiorum* در مزرعه تحت تأثیر شرایط محیطی متغیر هستند چرا که تاریخچه کشت، واریته‌های میزبان، شرایط اقلیمی ماکرو و میکرو و عملیات کشاورزی همه باعث ایجاد یک محیط متغیر می‌شوند (Kohli *et al.* 1992) و لذا به نظر نمی‌رسد که جمیعت‌های این بیمارگر در مزرعه به صورت ناهمگون هستند که نتایج این مطالعه موید این مطلب است.

مطالعات صورت گرفته در کانادا نشان داده‌اند که یکسری از کلون‌ها تا فاصله بیش از ۲۰۰۰ کیلومتر پراکنده شده‌اند (Kohli *et al.* 1995)، در صورتی که نتایج تحقیق حاضر نشان داد که هیچ MCG ای بین مناطق مورد مطالعه مشترک نبود. این نتیجه احتمالاً نشان‌دهنده این است که پروپاگول‌های این بیمارگر بین این مناطق جابجا نشدند یا جابجایی کمی صورت گرفته است و یا این که MCG‌ها و ژنوتیپ‌های خاصی تحت شرایط محیطی و رقابت انتخاب شده‌اند (Kull *et al.* 2004). دلیل دیگر تفاوت نتیجه مطالعه حاضر با نتیجه مطالعه کوهنی و همکاران (1995) ممکن است ناشی از مقیاس و مدت زمان کشت کلزا در کانادا و ایران باشد، چرا که در کانادا کلزا در مقیاس وسیع به مدت بیش از ۲۰ سال کشت می‌شود و لذا یک منبع دائمی برای اینوکلوم این بیمارگر فراهم می‌شود که پراکنش قارچ را تسهیل می‌کند (Carpenter *et al.* 1999). هم‌چنین، عدم وجود MCG مشترک بین این مناطق ممکن است به این دلیل باشد که نمونه برداری ما در سطح وسیع

تکراری، که در سلسله باکتریها حفاظت شده است، در قارچ *S. sclerotiorum* از آسکومیست‌ها نیز وجود دارد. توزیع این توالی‌ها در بین جدایه‌های مورد بررسی متفاوت بود، چرا که ۳۸ جدایه را به ۳۷ ژنوتیپ متمایز کرد و لذا نشانگر مولکولی rep-PCR می‌تواند به عنوان یک نشانگر *S. sclerotiorum* برای بررسی تنوع ژنتیکی جدایه‌های *S. sclerotiorum* به کار رود.

بر اساس نتایج مطالعه حاضر تنوع ژنتیکی بالایی بین جمیعت‌های *S. sclerotiorum* در مناطق مورد بررسی وجود دارد و این موضوع با استفاده از یک نشانگر rep-PCR در مورفولوژیکی (MCG) و نشانگر مولکولی rep-PCR در این پژوهش به اثبات رسیده است. بنابراین باید توجه کرد که هر سیستم مدیریت بیماری اتخاذ شده در این مناطق می‌باشد قادر باشد با بیمارگری مقابله کند که چنین تنوع ژنتیکی بالایی را دارا می‌باشد. روش‌های مبارزه‌ای که در مقابل چندین ژنوتیپ مؤثر هستند ممکن است در برابر ژنوتیپ‌های دیگر مؤثر واقع نشوند. بنابراین باید تلفیقی از سیستم‌های مدیریت بیماری، ترکیبی از کنترل زراعی، شیمیایی، بیولوژیکی و ارقام متتحمل یا مقاوم، استفاده شوند و هم‌چنین کارایی چنین سیستم‌هایی باید روی دامنه وسیعی از جدایه‌های *S. sclerotiorum* بررسی شود.

#### منابع

جهت ملاحظه به صفحات (57-60) متن انگلیسی مراجعه شود.

2005) و نیز برای بررسی تنوع در سطوح بین یا درون گونه‌ای چندین جنس قارچ استفاده شده است (McDonald *et al.* 2000; Arruda *et al.* 2003). این نشانگر یک روش تقریباً جدید برای بررسی تنوع ژنتیکی جمیعت‌های قارچی می‌باشد که می‌تواند روش‌های George *et al.* (1998) نشانگر rep-PCR توالی‌های بین نسخه‌هایی از یک توالی دی.ان.ا. تکراری در ژنوم را که به صورت تصادفی پراکنده شده‌اند را تکثیر می‌کند. در بررسی تجزیه به مختصات اصلی، نشان داده شد که دوازده مولفه اول ۸۵ درصد تغییرات را توجیه می‌کنند که بیانگر این است که نشانگر مورد استفاده توزیع یکنواخت و مناسب در سطح ژنوم داشته است. در بررسی تنوع ژنتیکی با استفاده از داده‌های مولکولی بهترین حالت این است که نشانگرها توزیع یکنواخت و مناسب در سطح کل ژنوم داشته باشند تا بتوانند کل ژنوم را نمونه برداری کنند. بنابراین، در صورتی که نشانگرها از بخش‌های مختلف ژنوم انتخاب شده باشند همبستگی بین آنها کم خواهد بود و در نتیجه به مولفه‌های بیشتری جهت توجیه تغییرات کل نیاز است.

نتایج مطالعات مولکولی نشان داد که تنوع بسیار بالای بین جدایه‌های *S. sclerotiorum* در مناطق مورد بررسی وجود دارد. وجود تنوع ژنتیکی بالا در جمیعت‌ها نشان دهنده نرخ بالای مهاجرت و یا تبادل ژنتیکی و نوترکیبی می‌باشد (Kohli *et al.* 1995). از طرفی دیگر، نتایج این پژوهش نشان داد که توالی‌هایی مشابه این توالی‌های